

К. А. НАУГОЛЬНЫХ, С. И. СОЛЮЯН, Р. В. ХОХЛОВ

## ЦИЛИНДРИЧЕСКИЕ ВОЛНЫ КОНЕЧНОЙ АМПЛИТУДЫ В ДИССИПАТИВНОЙ СРЕДЕ

Рассмотрены процессы распространения расходящихся и сходящихся цилиндрических волн в нелинейной вязкой и теплопроводящей среде. Рассмотрение проведено приближенными методами. Методом Крылова — Боголюбова [1] для малых значений числа Рейнольдса и методом, применявшимся в [2], для больших значений числа Рейнольдса. На основе полученных решений исследованы явления формирования и «рассасывания» ударных фронтов, определены пространственные масштабы этих явлений. Показано, что задача о распространении цилиндрических волн конечной амплитуды в принятом приближении тождественна задаче о распространении плоских волн в среде с линейно меняющейся вязкостью.

Рассмотрим задачу о распространении в вязкой теплопроводящей среде цилиндрически симметричной волны конечной амплитуды, излучаемой пульсирующим по гармоническому закону бесконечным цилиндром радиуса  $r_0$ . Приближенное решение этой задачи для случая небольших нелинейных искажений формы волны можно получить методом Крылова — Боголюбова [1]. В случае сильных искажений формы волны, когда первоначально синусоидальная волна становится пилообразной, для решения рассматриваемой задачи используется метод, примененный в [2].

Полная система уравнений задачи имеет вид:  
уравнение движения

$$\rho \frac{\partial v}{\partial t} + \rho v \frac{\partial v}{\partial r} = - \frac{\partial P}{\partial r} + b \left( \frac{\partial^2 v}{\partial r^2} + \frac{1}{r} \frac{\partial v}{\partial r} - \frac{v}{r^2} \right), \quad (1)$$

уравнение непрерывности

$$\frac{\partial \rho}{\partial t} + \frac{\partial}{\partial r} (\rho v) + \frac{\rho v}{r} = 0, \quad (2)$$

приближенное уравнение состояния

$$P = P_0 + c_0^2 (\rho - \rho_0) + \frac{\gamma - 1}{2} \frac{\rho_0}{c_0^2} (\rho - \rho_0)^2. \quad (3)$$

Здесь  $v$  — скорость среды,  $\rho$  — плотность,  $P$  — давление,  $r$  — цилиндрическая координата,  $c_0$  — скорость звука,  $b = \frac{4}{3} \eta + \zeta + \kappa \left( \frac{1}{c_v} - \frac{1}{c_p} \right)$ ,  $\eta$ ,  $\zeta$  — коэффициенты сдвиговой и объемной вязкостей,  $\kappa$  — коэффициент теплопро-

водности,  $\gamma = c_p/c_v$  в случае газов, где  $c_p$  и  $c_v$  — удельные теплоемкости при постоянном давлении и объеме, а в случае жидкости  $\gamma = \left(\frac{\partial c^2}{\partial \rho}\right) \frac{\rho_0}{c_0^2} + 1$ .

Индексом 0 обозначены равновесные значения величин. Присутствие коэффициента теплопроводности в выражении для  $b$  обусловлено объединением членов с вязкостью в уравнении движения с так называемыми тепловыми членами уравнения состояния. Такое объединение возможно при условии малости поглощения на длине волны.

Перейдем от переменных Эйлера  $r$  к переменным Лагранжа  $R$ , связанным с  $r$  соотношением  $r = R + \xi(R, t)$ , где  $\xi$  — смещение частиц среды. Тогда после исключения из (1)  $P$  с помощью (3) и (2), с точностью до квадратичных по амплитуде величин, ограничиваясь случаем  $kR \gg 1$  ( $k$  — волновое число), получим

$$\ddot{\xi} - c_0^2 \xi'' - c_0^2 \frac{\xi'}{R} + c_0^2 \frac{\xi}{R^2} + (\gamma + 1) \dot{\xi} \dot{\xi}' - \frac{b}{\rho_0} \xi'' = 0. \quad (4)$$

Граничное условие на поверхности цилиндра запишем в виде

$$v = \frac{\partial \xi}{\partial t} = v_0 \sin(\omega t \mp kR_0), \quad (5)$$

где  $\omega$  — частота,  $v_0$  — амплитуда скорости пульсаций цилиндра. Здесь и далее знак плюс относится к случаю расходящейся, а знак минус — к случаю сходящейся волны. Производя расчет, полностью аналогичный приведенному в [3], получим приближенное решение задачи (4, 5) методом Крылова—Боголюбова, которое можно представить следующим образом:

$$\begin{aligned} v = & v_0 e^{\mp a(R-R_0)} \sqrt{\frac{R_0}{R}} \sin\left(\omega t \mp kR + \frac{1}{2kR_0}\right) - \\ & - v_0 e^{\mp a(R-R_0)} \sqrt{\frac{R_0}{R}} \frac{1}{2kR} \cos\left(\omega t \mp kR - \frac{1}{2kR_0}\right) - \\ & - v_0^2 R_0 \frac{k(\gamma+1)}{2c_0} e^{\mp 2a(R-R_0)} \sqrt{\frac{R_0}{R}} \left| 1 - \sqrt{\frac{R}{R_0}} \right| \sin 2\left(\omega t \mp kR + \frac{1}{2kR_0}\right), \quad (6) \end{aligned}$$

где  $a = b\omega^2/2\rho_0 c_0^3$ .

Это решение применимо при условии

$$e^{\mp a(R-R_0)} \frac{v_0}{c_0} \frac{\gamma+1}{2} kR_0 \left| 1 - \sqrt{\frac{R}{R_0}} \right| \ll 1. \quad (7)$$

Решение (6) показывает, что в первоначально монохроматической цилиндрической волне при ее распространении нарастает вторая гармоника, что на спектральном языке описывает искажение формы волны. Постепенно рост второй гармоники замедляется, она достигает максимума, а потом затухает, так что волна вновь становится монохроматичной. Однако могут быть случаи, когда условие (7) не выполняется в некотором интервале значений  $R$  и, следовательно, решение (6) становится неприменимым.

Для описания таких случаев воспользуемся методом, примененным в [2]. Для этого в уравнении (4) перейдем от переменных  $\xi, t, R$  к переменным  $v, \tau = t - R/c_0$  и  $R' = \mu R$ , где  $\mu$  — малый параметр. Удерживая в преобразованном уравнении лишь малые члены не выше второго поряд-

ка малости по малым параметрам  $v_0/c_0$ ,  $1/kR$  и  $\mu$  и возвращаясь затем от  $R'$  к  $R$ , получим

$$\frac{\partial v}{\partial R} + \frac{v}{2R} - \alpha v \frac{\partial v}{\partial \tau} = \delta \frac{\partial^2 v}{\partial \tau^2}, \quad (8)$$

где  $\alpha = (\gamma + 1)/2c_0^2$  и  $\delta = b/2\rho_0 c_0^3$ .

Решение задачи (8), (5) может быть проведено поэтапно. При этом мы будем рассматривать наиболее интересный случай больших значений числа Рейнольдса

$$Re = \alpha v_0/2\omega\delta \approx \alpha v v_\tau/\delta v_{\tau\tau} \gg 1.$$

Тогда на первом этапе распространения волны диссипативные процессы несущественны и вязким членом в уравнении (8) можно пренебречь. Решение уравнения (8) без вязкого члена, удовлетворяющее граничному условию (5), можно записать в виде

$$\omega\tau = \text{Arc sin } \Phi - 2Z_0 |1 - \sqrt{R/R_0}| \Phi, \quad (9)$$

где  $\Phi = v \sqrt{R}/v_0 \sqrt{R_0}$  и  $Z_0 = \alpha\omega v_0 R_0$ .

Как показывает графический анализ соотношения (9), функция  $\Phi(\tau)$ , описывающая волновой профиль, вследствие роста углового коэффициента прямой  $2Z_0 |1 - \sqrt{R/R_0}|$  искажается по мере удаления волны от точки  $R_0$  и при  $2Z_0 |1 - \sqrt{R/R_0}| > 1$  вообще становится неоднозначной. Физически это означает образование разрыва в профиле волны. Хотя координата формирования разрыва  $R_1$ , как в случае расходящейся цилиндрической волны, так и в случае сходящейся цилиндрической волны, определяется одним и тем же соотношением  $k \sqrt{R_0} |\sqrt{R_0} - \sqrt{R_1}| = 1/M^*$ , где  $M^* = (\gamma + 1)v_0/2c_0$  — акустический аналог числа Маха, которое можно переписать в терминах безразмерной координаты  $Z = \alpha\omega v_0 K$  в виде

$$2Z_0 |1 - \sqrt{Z_1/Z_0}| = 1 \quad (10)$$

между обеими волнами имеется существенное различие.

Для расходящихся цилиндрических волн соотношение (10) выполняется при любых  $Z_0$  как больших, так и малых, так что на некоторых расстояниях  $R_1$  тем больших, чем меньше  $Z_0$ , волна непременно становится разрывной.

В случае же сходящихся цилиндрических волн (текущая координата  $R < R_0$ )  $Z_0$  должно быть достаточно велико. В самом деле, при  $Z_0 = 1/2$  разрывное решение формируется согласно (10) в точке  $R=0$ , а при  $Z_0 < 1/2$  не формируется нигде, т. е. при уменьшении  $Z_0$ , что соответствует уменьшению начального радиуса и начальной амплитуды пульсирующего цилиндра, волна сходится, так и не обращаясь в ударную волну. Таким образом, в случае сходящихся цилиндрических волн нелинейные эффекты сказываются существенно лишь при  $Z_0 \gg 1$ .

Рассмотрение точки  $R=0$  на основе решения (9) неправомерно (уравнение (8) получено в предположении  $kR \gg 1$ ). Следует рассматривать некоторую малую область  $kR$ , охватывающую ось цилиндра и удовлетворяющую условию  $kR \gg 1$ , так что проведенные рассуждения относительно точки  $R=0$  носят качественный характер. Заметим, что при  $R_0 \rightarrow \infty$  формула (10) переходит в обычное соотношение для плоских волн  $k|x_1 - x| = 1/M^*$  (см., например, [2]).

В соответствии с решением (9) приближенно можно считать, что начиная со значений

$$2Z_0 |1 - \sqrt{Z_2/Z_0}| = \frac{\pi}{2} \quad (11)$$

волна приобретает пилообразную форму и амплитуда скачка расходящейся (или сходящейся) цилиндрически волны изменяется по закону

$$v \sqrt{R} = v_0 \sqrt{R_0} |1 + 2Z_0 |1 - \sqrt{R/R_0}|. \quad (12)$$

Исследование структуры образующихся разрывов может быть проведено на основе решения вспомогательной задачи о распространении одиночного скачка уплотнения либо путем численного интегрирования уравнения (8), либо путем отыскания квазистационарного решения. Остановимся на последнем решении.

Вводя новую независимую переменную  $x$  и новую функцию  $w$  в соответствии с формулами

$$x = 2 \sqrt{RR_0} \text{ и } w = v \sqrt{R/R_0}, \quad (13)$$

преобразуем уравнение (8)

$$\frac{\partial w}{\partial x} - \alpha w \frac{\partial w}{\partial \tau} = (\delta x / 2R_0) \frac{\partial^2 w}{\partial \tau^2}. \quad (14)$$

Квазистационарное решение уравнения (14), справедливое при условии малости  $\frac{\partial w}{\partial x}$  по сравнению с остальными членами уравнения (14), имеет вид

$$W = W_0 th [\alpha W_0 \tau / 2\delta (x/2R_0)]. \quad (15)$$

При этом пренебрежение членом  $\frac{\partial w}{\partial x}$  возможно, когда

$$2R_0 (\alpha w_0)^2 / 2\delta \gg 1, \quad (16)$$

что в терминах безразмерных параметров можно переписать так:

$$2Z_0 Re \gg 1. \quad (17)$$

Соотношение (17) выполняется всегда как для расходящейся цилиндрической волны, так и для сходящейся, если  $Z_0 \gg 1/2 Re$  или в предельном случае

$$Z_0 = 1/2 Re. \quad (18)$$

Вернемся теперь к задаче о распространении волны, излучаемой гармонически пульсирующим цилиндром. Принимая во внимание, что на расстояниях  $Z \gg Z_2$  (см. рис. 1) ( $Z_2$  определяется соотношением (11)) волна принимает пилообразную форму с разрывами на каждой длине волны, «амплитуда» которых изменяется в соответствии с (12) (структура их может быть приближенно описана формулой (15), при условии выполнения соотношения (17)), мы можем описать конфигурацию волны в области  $Z \gg Z_2$  формулой вида

$$v \sqrt{R} = \frac{v_0 \sqrt{R_0}}{1 + 2Z_0 |1 - \sqrt{R/R_0}|} \left( -\omega \tau + \pi th \frac{\omega \tau}{\Delta} \right), \quad (19)$$

где

$$\Delta = \frac{1 + 2Z_0 |1 - \sqrt{R/R_0}|}{2\pi Re} \sqrt{R/R_0} \quad (20)$$

безразмерная ширина ударного фронта. Путем непосредственной подстановки (19) в (8) можно убедиться, что это выражение приближенно удовлетворяет уравнению (8) при условии выполнения (17).

Как следует из рассмотрения формулы (20), ширина фронта ударной волны не остается стационарной, а изменяется по мере распространения волны в среде. Здесь целесообразно отдельно рассмотреть расходящуюся и сходящуюся цилиндрические волны.

В случае расходящейся цилиндрической волны безразмерная ширина фронта  $\Delta$  для любой точки  $Z > Z_2$  больше, чем в точке  $Z_2$ . При этом сглаживание фронта происходит как за счет диссипации, пропорциональной  $2Z_0|1 - \sqrt{R/R_0}|$ , так и за счет расходимости волны, пропорциональной  $\sqrt{R/R_0}$ . На некотором расстоянии  $Z_3$  ширина фронта  $\Delta$  может занять фазовый интервал порядка  $\pi$ . Это означает, что процесс «рассасывания» фронта приводит к обращению возмущений скорости пилообразной формы в синусоидальные.

Определив точку  $Z_3$  из условия  $\Delta = \pi$ , легко показать, что амплитуда волны в соответствии с (19) в этой точке пропорциональна  $v_0/Re$ , т. е. в случае больших чисел Рейнольдса является малой величиной второго порядка малости. Тем самым распространение волны в области  $Z \gg Z_3$  может быть описано обычными линейными уравнениями акустики. Координату  $Z_3$ , соответствующую  $\Delta = \pi$ , определяем по формуле (20).

В случае  $\sqrt{R/R_0} \gg 1$  и  $(R/R_0) \gg \sqrt{R/R_0}$  условие, определяющее координату «рассасывания» пилообразной волны до синусоидальной, выглядит особенно просто

$$Z_3 \approx \pi^2 Re, \quad (21)$$

где  $Z_3 = \alpha \omega v_0 R_3$ .

Теперь на основе сопоставления характеристических параметров задачи для расходящейся цилиндрической волны процесс распространения последней может быть описан полностью. На рис. 1 точка  $Z_0$  соответствует координате  $R_0$ , где задано возмущение скорости в форме (5); точка  $Z_1 - R_1$ , где волна приобретает разрывной характер;  $Z_2 - R_1$ , где волна имеет пилообразную форму ( $Z_1 \approx Z_2$ );  $Z_3 - R_3$ , где «пила» обращается в синусоиду. Характер распространения волны существенно зависит от  $Z_0$ . Пусть  $Z_0 \gg 1/2 Re$ . Тогда условие применимости квазистационарного решения (18) выполняется и формулы (19) и (20) правомерны. В среде наблюдаются процессы формирования волны пилообразной формы ( $Z_2 - Z_0$ ) и «рассасывания» ее до синусоиды ( $Z_3 - Z_1$ ). С ростом  $Z_0$  область ( $Z_1 - Z_0$ ) уменьшается, точка  $Z_1$  приближается к точке  $Z_0$ , ширина фронта  $\Delta$  уменьшается, стремясь к величине порядка  $1/Re$ . Область «рассасывания» фронтов ( $Z_3 - Z_1$ ) велика.

При уменьшении  $Z_0$  в пределах применимости квазистационарного решения (18) картина распространения расходящейся цилиндрической волны меняется. Так, в случае  $Z_0 = 1/2 Re$  координата формирования разрыва  $Z_1$  уже порядка  $Re$ , т. е. она приближается к точке  $Z_3$ . При этом минимальная ширина фронта порядка  $0,1 \gg 1/Re$ , т. е. наблюдается преобладание расходимости над нелинейными эффектами, узкие фронты не формируются совсем.

При дальнейшем уменьшении  $Z_0$  пользоваться решением (19), (20) нельзя, нарушено условие (18). Однако качественная картина процесса

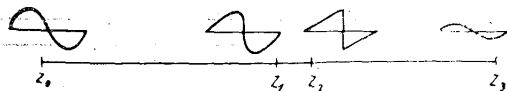


Рис. 1. Профиль расходящейся цилиндрически симметричной звуковой волны на различных расстояниях от излучателя

распространения расходящейся цилиндрической волны очевидна. Координата  $Z_1$ , удаляясь от точки  $Z_0$ , стремится к координате  $Z_3$ . Выше была отмечена тенденция увеличения минимальной ширины фронта с уменьшением  $Z_0$ . Это означает, что в случае  $Z_0 < 1/2 \text{Re}$  расхожимость и поглощение приводят к тому, что волна затухает, не принимая пилообразной формы. Нелинейные эффекты выражены в этом случае крайне слабо и

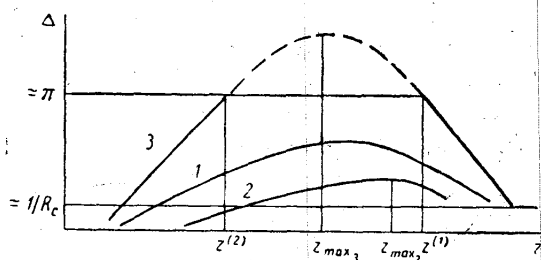


Рис. 2. Зависимость безразмерной ширины фронта сходящейся цилиндрически симметричной звуковой волны от расстояния от излучателя (кривые 1, 2, 3 соответствуют излучателям разного радиуса  $R_{01}$ ,  $R_{02}$ ,  $R_{03}$ , так что  $R_{03} \gg R_{01} \gg R_{02}$ ).

полное описание процесса дается полученным выше на основе метода Крылова — Боголюбова решением (6). В случае сходящейся цилиндрической волны безразмерная ширина фронта  $\Delta$  имеет одновременно тенденцию к увеличению за счет коэффициента  $2Z_0 |1 - \sqrt{R/R_0}|$  и к уменьшению за счет сходимости пропорциональной  $\sqrt{R/R_0}$  ( $R < R_0$ ). Безразмерная ширина фронта  $\Delta$  как функция  $Z$  может быть представлена графически, как это показано на рис. 2. В соответствии с (20)  $\Delta$ , равная в точке  $Z_1 \approx Z_2$  величине  $\sim 1/\pi \text{Re}$ , сначала возрастает, достигая в точке  $R_{\text{max}} = (1 + 2Z_0)^2 R_0 / 16 Z_0^2$  максимума, равного  $(1 + 2Z_0)^2 / 16 \pi \text{Re} Z_0$ , а затем убывает по мере распространения волны в среде, стремясь к нулю при  $R \rightarrow 0$ .

В сходящейся цилиндрической волне пилообразная волна формируется всегда, если только начальный радиус пульсирующего цилиндра выбран достаточно большим,  $Z_0 \gg 1$ , иначе, как уже отмечалось (при  $Z_0 < 1/2$ ), волна схватится прежде, чем успеет сформироваться разрывы. В этом смысле для сходящейся цилиндрической волны условие применимости квазистационарного решения (18) выполняется всегда, т. е. структура фронта в любой точке  $Z < Z_1$  может быть определена по графику рис. 2. Кривые 1, 2 на рис. 2 соответствуют разным значениям параметра  $Z_0$ . При  $Z_0$ , стремящемся по порядку величины к величине числа Рейнольдса,  $Z_{\text{max}} = Z_0/4$ , а максимальная ширина фронта достигает величины порядка 0,05 и существенно больше  $\Delta_{\text{min}} = 1/\pi \text{Re}$  (кривая 1). Точка  $Z_1$  при этом расположена в соответствии с (10) вблизи  $Z_0$ .

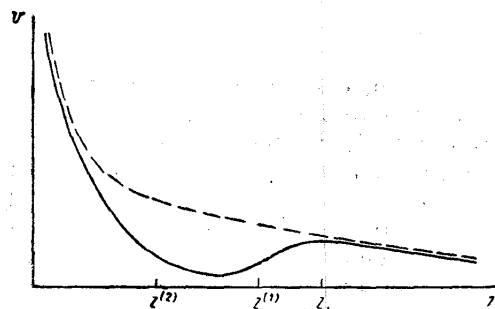


Рис. 3. Зависимость амплитуды скорости  $v$  сходящейся цилиндрически симметричной звуковой волны от расстояния от излучателя с учетом нелинейности и поглощения. Пунктирная кривая соответствует линейной теории

Кривая 2 соответствует значению  $Z_0 = 5$ . В этом случае координата соответствующая максимальной ширине фронта, расположена ближе к  $Z_0$  ( $Z_{\text{max}} > Z_0/4$ ) и очень близко к  $Z_1$ . Ширина фронта возрастает незначительно.

Кривая 2 соответствует значению  $Z_0 = 5$ . В этом случае координата соответствующая максимальной ширине фронта, расположена ближе к  $Z_0$  ( $Z_{\text{max}} > Z_0/4$ ) и очень близко к  $Z_1$ . Ширина фронта возрастает незначительно.

Специально следует остановиться на случае таких больших значений  $Z_0 \gg Re$ , когда максимальная безразмерная ширина фронта  $\Delta_{\max}$  в соответствии с (20) формально может оказаться большей или равной  $\pi$  (кривая 3 на рис. 2). Формула (20) справедлива лишь в пределах  $\Delta \leq \pi$ , так что кривая 3 не имеет физического смысла в области  $Z^{(1)} - Z^{(2)}$ , где точки  $Z^{(1)}$  и  $Z^{(2)}$ , как отмечено на рис. 2 соответствуют  $\Delta \approx \pi$ . В точке  $Z^{(1)}$  амплитуда волны оказывается порядка  $v_0/Re$ , так что в области  $Z^{(1)} - Z^{(2)}$  распространение сходящейся цилиндрической волны может быть описано формулами линейной акустики, пока увеличение амплитуды волны вследствие фокусировки не превысит падения амплитуды вследствие диссипации. Это происходит в области  $Z \leq Z^{(2)}$ .

Начиная с точки  $Z^{(2)}$  формула (20) вновь применима, ширина фронта сходящейся цилиндрической волны, быстро уменьшаясь, стремится к нулю.

Интересно рассмотреть амплитуду сходящейся цилиндрической волны как функцию безразмерной координаты  $Z$ . Последняя нарастает до точки  $Z_1 \approx Z_2$ , где образуется периодическая ударная волна, что вызывает уменьшение амплитуды вследствие сильной диссипации, пока увеличение амплитуды волны за счет сходимости не перекроет диссипативные потери. На рис. 3 приведена зависимость  $v = v(Z)$  для случая  $Z_0 \gg Re$ , пунктирной прямой отмечен ход амплитуды в соответствии с линейной теорией.

В заключение следует отметить, что в терминах уравнения (14) задача о распространении расходящейся цилиндрической волны эквивалентна задаче о распространении плоской волны в среде с линейно нарастающей вязкостью, а задача о распространении сходящейся цилиндрической волны эквивалентна задаче о распространении плоской волны в среде с линейно убывающей вязкостью.

#### ЛИТЕРАТУРА

1. Боголюбов Н. Н., Митропольский Ю. О. Асимптотические методы в теории нелинейных колебаний. ГИТТЛ, М., 1955.
2. Солуян С. И., Хохлов Р. В. «Вестн. Моск. ун-та», сер. физ., астрономии, № 3, 52—61, 1961.
3. Наугольных К. А. «Акустический журнал», V, вып. 1, 80—84, 1959.

Поступила в редакцию  
18. 12 1962 г.

Кафедра  
теории колебаний